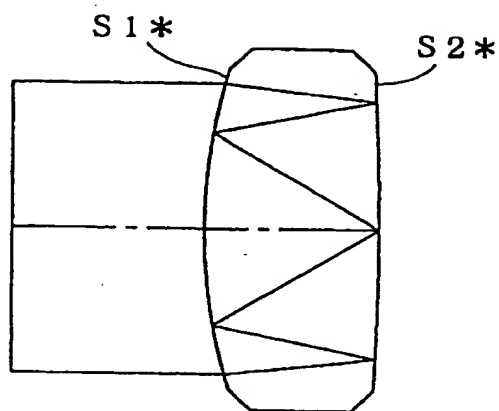


00927-1205-100

【図 1】

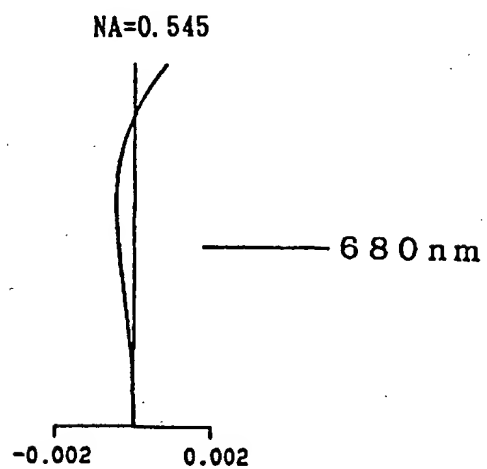
イメージ



コード
イメージ

【図 2】

Fig. 1



球面収差
spherical aberration

Fig. 2

コード 【図 3】
イメージ

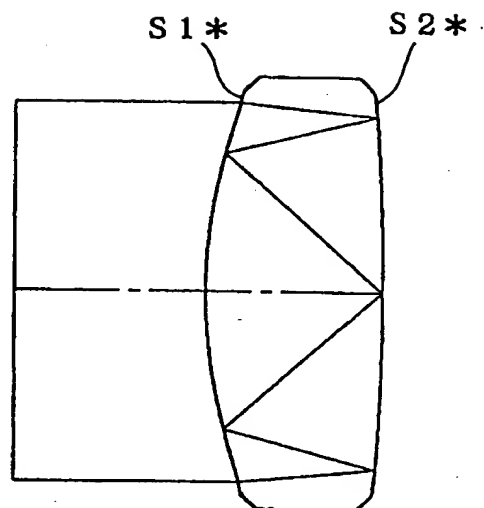


Fig. 3

コード 【図 4】
イメージ

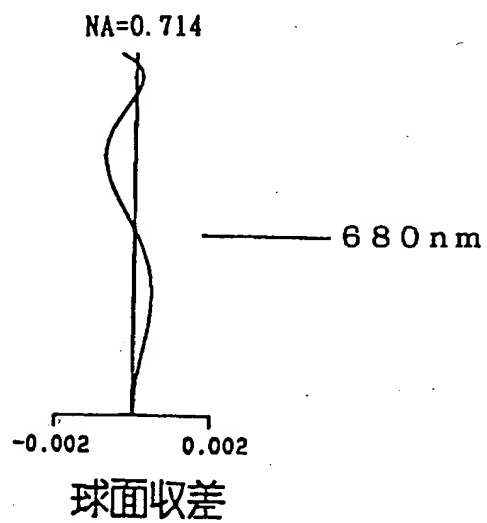


Fig. 4

コード 【図5】
イメージ

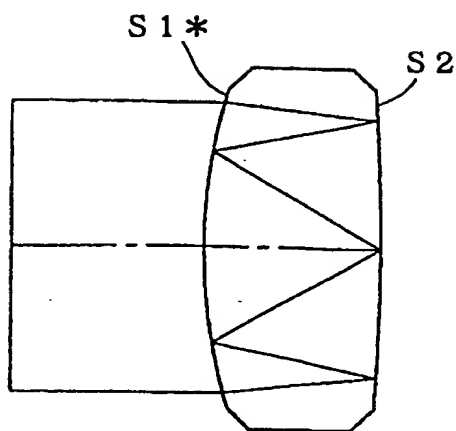


Fig. 5

コード 【図6】
イメージ

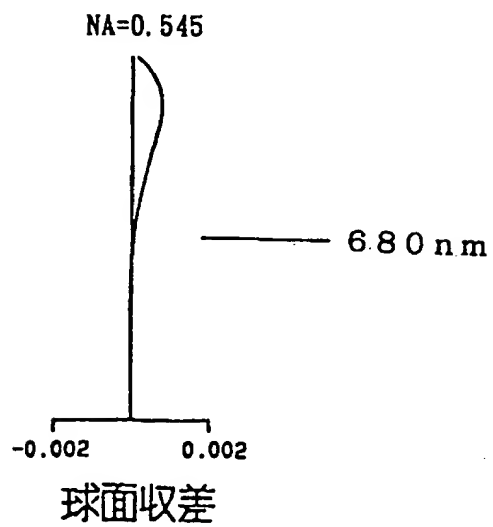


Fig. 6

コード 【図 7】
イメージ

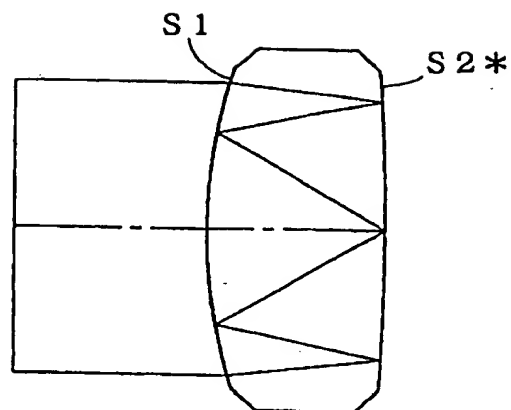


Fig. 7

コード 【図 8】
イメージ

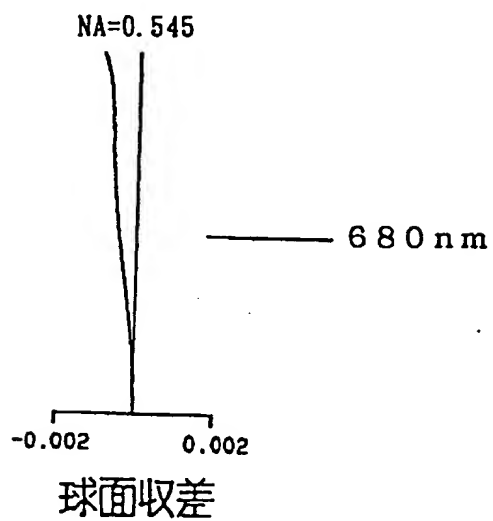


Fig. 8

コード 【図 9】
イメージ

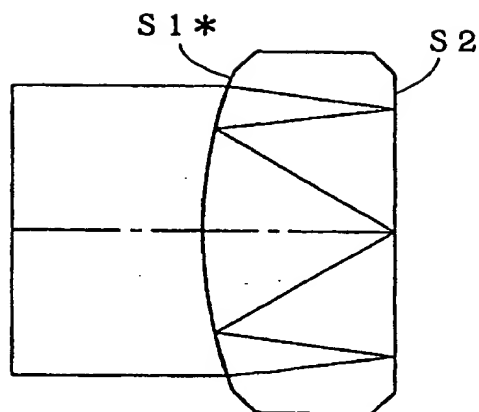


Fig. 9

コード 【図 10】
イメージ

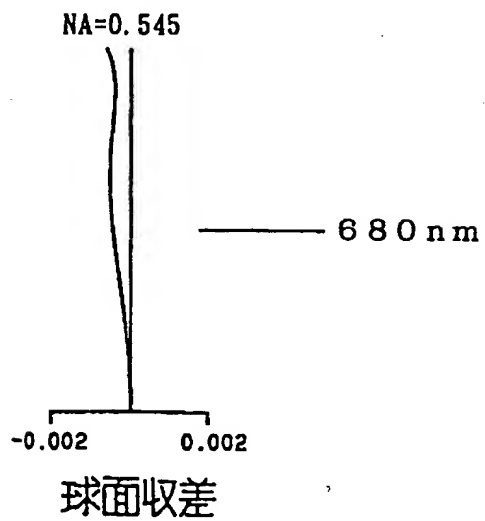


Fig. 10

コード 【図 1 1】
イメージ

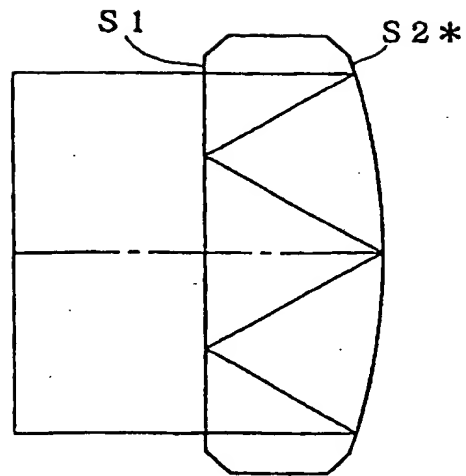


Fig. 11

コード 【図 1 2】
イメージ

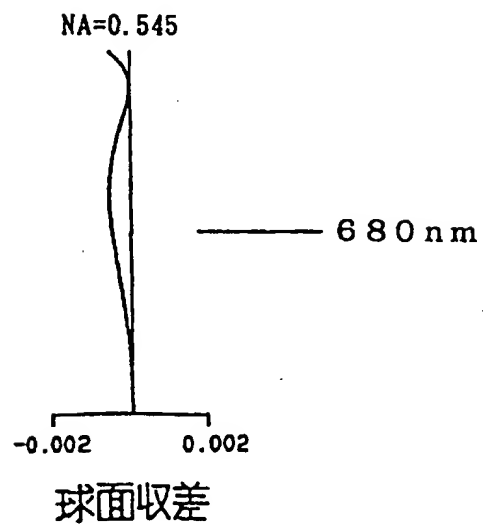


Fig. 12

コード 【図 13】
イメージ

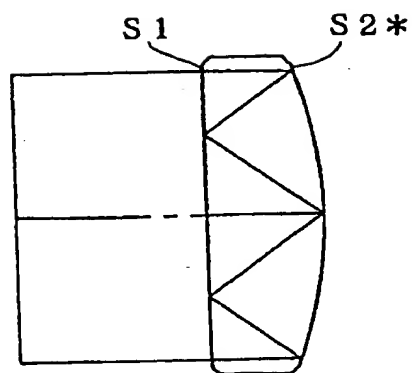


Fig. 13

コード 【図 14】
イメージ

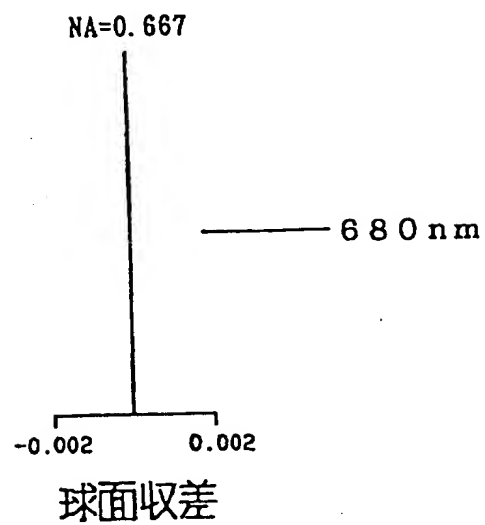


Fig. 14

コード 【図15】
イメージ

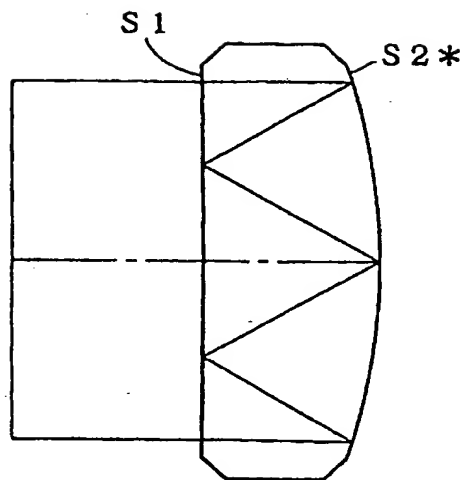


Fig. 15

コード 【図16】
イメージ

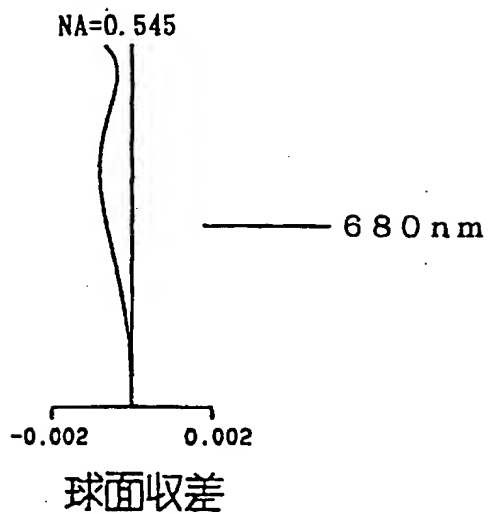


Fig. 16

[illegible]

Figure 1 is a line graph showing the relationship between spherical aberration (球面収差) and the radius of curvature (R) for a lens with NA=0.558. The x-axis is labeled '球面収差' and ranges from -0.002 to 0.002. The y-axis is labeled 'R' and ranges from 0 to 10. A single curve is plotted, showing a sharp increase in spherical aberration as R increases. A horizontal line at R=680 nm is labeled '680 nm'.

Fig. 18

コード 【図 19】
イメージ

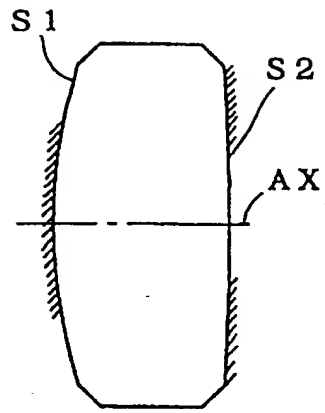


Fig. 19

[illegible]